

Ф и г. 6

одинаково расположенным зарядам различной мощности, а примеры 7 и 8, 10 и 12 — различному заглублению зарядов одинаковой мощности.

Из приведенных результатов можно сделать выводы.

1. Для случая  $v_1 < v_2$  явно прослеживается участок на линии раздела сред; при  $v_1 > v_2$  этот участок выражен менее явно.

2. С уменьшением прочности грунта при одинаковом расположении заряда, что в размерных переменных (с учетом (1)) соответствует увеличению мощности заряда при одном и том же грунте, размеры выемки выброса увеличиваются как по ширине, так и по глубине. Следует отметить, что увеличение ширины выемки происходит при этом за счет нижнего слоя.

3. Для одинаковых значений критических скоростей размеры выемки выброса с увеличением заглубления заряда увеличиваются. Причем увеличение полуширины происходит при этом лишь до некоторого предела. Для случая однородного грунта, характеризующегося критической скоростью  $v_0$ , как следует из результатов работы [3], этот предел при  $h \rightarrow \infty$  равен  $2q/v_0$  (величины  $h$ ,  $q$ ,  $v_0$  размерные).

Поступила 21 III 1977

#### ЛИТЕРАТУРА

1. Поляк Э. Б., Шер Е. Н. О форме воронки выброса при взрыве шнурового заряда в двухслойной среде. — ПМТФ, 1973, № 2, с. 143—146.
2. Кузнецов В. М. О форме воронки выброса при взрыве на поверхности грунта. — ПМТФ, 1960, № 3, с. 152—156.
3. Кузнецов В. М., Поляк Э. Б. Импульсно-гидродинамические схемы взрыва на выброс шнуровых зарядов. — ФТПРПИ, 1973, № 4, с. 32—39.
4. Фильчаков П. Ф. Определение констант интеграла Кристоффеля — Шварца при помощи моделирования на электропроводной бумаге. — УМЖ, 1961, т. 13, № 1, с. 72—79.

УДК 539.374 : 534.1

### РАСПРОСТРАНЕНИЕ ДВУМЕРНОЙ ПЛАСТИЧЕСКОЙ ВОЛНЫ В СРЕДЕ С НЕЛИНЕЙНОЙ РАЗГРУЗКОЙ

Н. Мамадалиев, В. П. Молев

(Москва)

Рассматривается плоская стационарная задача о воздействии подвижной нагрузки на нелинейно-сжимаемую полуплоскость.

Случай линейного нагружения и разгрузки среды рассмотрен в работах [1, 2]. Причем полученное в работе [1] методом конформного отображения решение задачи имеет место в случае, когда скорость  $a_1$  распространения разгрузочных деформаций превышает скорость движения нагрузки. Эта задача без ограничений на скорость  $a_1$  методом интегрального преобразования Меллина для случая треугольной нагрузки решается в работе [2].

В данной работе численным методом характеристик и аналитически изучаются влияния нелинейных свойств материала полуплоскости на распространение в ней ударно-волновых процессов.

Предлагаемую расчетную схему можно использовать для определения параметров неоднородной среды при различных профилях заданной нагрузки.

Пусть по поверхности полуплоскости движется монотонно убывающая нормальная нагрузка с постоянной скоростью  $D$ , превышающей скорости распространения нагрузо-разгрузочных деформаций среды. Профиль нагрузки по мере распространения волны не меняется. Среда, заполняющая полуплоскость, обладает такими механическими свойствами, что при нагружении и разгрузке связь между давлением  $p$  и объемной деформацией  $\varepsilon$  нелинейна и необратима, причем  $dp/d\varepsilon > 0$ ,  $d^2p/d\varepsilon^2 > 0$  и угол наклона ветви разгрузки диаграммы  $p \sim \varepsilon$  превышает угол наклона ветви нагружения.

В этом случае в полуплоскости будет распространяться ударная волна с криволинейной поверхностью  $\Sigma$ , область возмущения ограничивается фронтом  $\Sigma$  и границей полуплоскости. Предполагается, что среда на фронте  $\Sigma$  мгновенно нагружается, а за фронтом в возмущенной области происходит разгрузка. На поверхности сильного разрыва  $\Sigma$  из условий сохранения массы и импульса имеют место соотношения

$$(1) \quad \rho_0 a = \rho^* (a - v_n^*), \quad \rho_0 a v_n^* = p^*, \quad v_\tau^* = 0 \quad (a = D \sin \alpha).$$

Уравнение состояния среды представим в виде полинома

$$p^* = \alpha_1 \varepsilon^* + \alpha_2 \varepsilon^{*2}.$$

В области разгрузки в подвижной системе координат  $\xi = Dt + x$ ,  $\eta = y$  имеем

$$(2) \quad D \frac{\partial v}{\partial \xi} + \frac{1}{\rho} \frac{\partial p}{\partial \xi} = 0, \quad D \frac{\partial v}{\partial \xi} + \frac{1}{\rho} \frac{\partial p}{\partial \eta} = 0,$$

$$D \frac{\partial p}{\partial \xi} + \rho \left( \frac{\partial u}{\partial \xi} + \frac{\partial v}{\partial \eta} \right) = 0, \quad p = p^* + \beta_1 (\varepsilon - \varepsilon^*) + \beta_2 (\varepsilon - \varepsilon^*)^2,$$

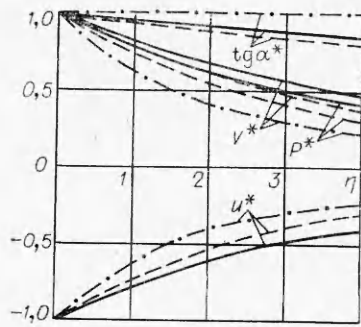
граничное условие имеет вид

$$(3) \quad \text{при } \eta = 0, \quad \xi \geq 0 \quad p = f(\xi),$$

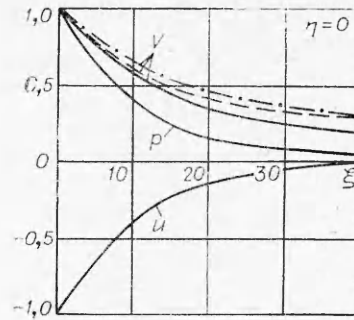
где  $f(\xi)$  — известная монотонно убывающая функция.

Введем обозначения:  $D$  — скорость подвижной нагрузки;  $a$  — скорость распространения ударной волны;  $a_1 = c_p = \beta_1/\rho$  — скорость распространения разгрузочной деформации для случая  $\beta_2 = 0$ ;  $p$  — давление;  $\varepsilon$  — объемная деформация;  $\Sigma$  — фронт ударной волны;  $\rho$  — плотность среды;  $t$  — время;  $x, y$  — неподвижные декартовы координаты;  $\xi, \eta$  — подвижные декартовы координаты;  $V$  — массовая скорость среды;  $u, v$  — проекции скорости на оси  $\xi$  и  $\eta$ ;  $\varphi$  — потенциал скорости;  $v_n^*, v_\tau^*$  — нормальная и касательная составляющие массовой скорости  $V$  среды к фронту  $\Sigma$ ;  $p_0$  — максимальное значение подвижной нагрузки;  $\mu$  — безразмерный коэффициент;  $b$  — размерный коэффициент;  $\alpha_1, \alpha_2, \beta_1, \beta_2$  — постоянные величины;  $\alpha$  — угол наклона фронта  $\Sigma$  ударной волны к границе полуплоскости;  $\operatorname{tg} \alpha_0$  — тангенс угла наклона фронта  $\Sigma$  с осью  $O\xi$  в начале координат; параметры среды, относящиеся к фронту  $\Sigma$ , обозначены сверху звездочкой.

Как было сказано выше, для решения задачи используется метод характеристик, а основные соотношения на характеристиках в случае нелинейно-сжимаемой среды приведены в работе [3].



Ф и г. 1



Ф и г. 2

Для конкретной структуры среды [4] задача реализована на ЭВМ для нагрузки, изменяющейся вдоль  $\xi$  по экспоненциальному закону вида

$$f(\xi) = p_0 \exp(-0,1\xi)$$

для

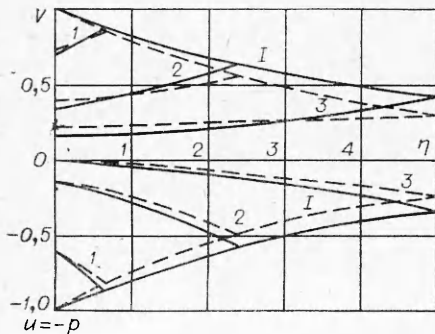
$$\alpha_1 = 12,127 \cdot 10^2, \alpha_2 = 58,73 \cdot 10^3, \beta_1 = 9,016 \cdot 10^3, \\ \beta_2 = 19 \cdot 10^4, p_0 = 105 \text{ кг/см}^2,$$

и результаты расчетов представлены на фиг. 1—6, где сплошные линии относятся к случаю  $\alpha_2 \neq \beta_2 \neq 0$ , штриховые —  $\beta_2 = 0$ , штрихпунктирные —  $\alpha_2 = \beta_2 = 0$ . Параметры среды на фиг. 1—3 приводятся в безразмерном виде по отношению к их максимальному значению, а координаты  $\xi, \eta$  — к единице длины.

Из фиг. 1 видно, что давление  $p^*$  и скорости  $u^*, v^*$  на фронте в зависимости от глубины  $\eta$  затухают существенно нелинейным образом. Оказывается, что за счет нелинейности свойств среды каждая материальная точка полуплоскости находится в более напряженном состоянии, чем в случае  $\alpha_2 = \beta_2 = 0$ . Разница параметров, рассчитанных по линейной ( $\alpha_2 = \beta_2 = 0$ ) и нелинейной ( $\alpha_2 \neq \beta_2 \neq 0$ ) теории, составляет в среднем 20—30%, что показывает на необходимость учета нелинейных процессов, происходящих в среде.

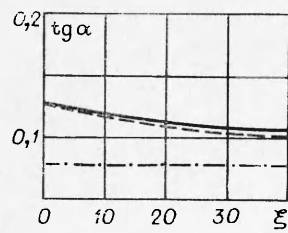
Анализируя зависимости, приведенные на фиг. 2, можно заметить, что на границе среды  $\eta = 0$  вдоль  $\xi$  компоненты скорости  $u, v$  монотонно падают (давление задано).

Кривая зависимости вертикальной составляющей скорости  $v$  от  $\xi$  при  $\alpha_2 = \beta_2 = 0$  лежит выше кривой, относящейся к случаю  $\beta_2 = 0$ , а кривая, рассчитанная для нелинейного случая, лежит ниже этой кривой. При  $\xi > 30$ , когда давление становится незначительным, кривые для  $v$  при  $\beta_2 = 0$  и  $\alpha_2 = \beta_2 = 0$  совпадают. Кривые для  $u$  всюду на границе полуплоскости во всех случаях получаются одними и теми же с точностью толщины линии.

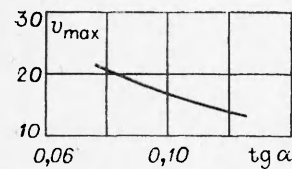


Ф и г. 3

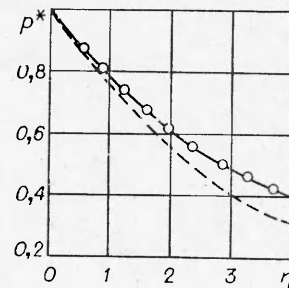
Кривые 1—3 на фиг. 3 показывают изменения параметров среды в сечениях  $\xi = 0,5; 1; 3$  соответственно в зависимости от глубины распростра-



Ф и г. 4



Ф и г. 5



Ф и г. 6

нения волны, которая асимптотически достигает своего максимального (на фронте) значения, представленного для вышерассмотренных двух случаев кривыми 1.

Отсюда заметим, что в случае нелинейной разгрузки, по сравнению с линейной, величины  $p$  и  $u$  получаются несколько выше, а кривые для  $v$  имеют точки пересечения.

Изменение тангенса угла наклона фронта ударной волны к границе среды показано на фиг. 4, где отмечается, что нелинейные свойства материала среды приводят к искривлению фронта волны и скорость фронта затухает по глубине полуплоскости. Причем наибольший угол наклона при фиксированном  $\xi$  соответствует случаю нелинейного нагружения и разгрузки среды. Кривая, соответствующая случаю только нелинейного нагружения, лежит ниже кривой нелинейного нагружения и разгрузки, прямая линия относится к линейной теории.

Следовательно, нелинейная зависимость между параметрами среды  $p$  и  $\epsilon$  приводит к расширению области возмущения.

Зависимость между максимальным значением вертикальной составляющей массовой скорости  $v_{\max}$  и  $\text{tg } \alpha$  фронта приводится на фиг. 5, которая подтверждает, что если фронт волны стремится к границе среды, то  $v_{\max}$  возрастает.

Приведенная на фиг. 6 штриховая линия с кружочками соответствует распределению давления  $p^*$  вдоль фронта  $\Sigma$  при  $\beta_2 = 0$  для случая аппроксимации нагрузочной ветви диаграммы  $p \sim \epsilon$  хордой, проходящей через точки  $p = 0$  и  $p = p_0$ . Эта кривая давления в зависимости от  $\eta$  расположена выше кривой давления при нелинейном нагружении.

Таким образом, при исследовании методом характеристик влияния нелинейных зависимостей между параметрами среды на распространение в ней волн напряжения показано, что нелинейная зависимость между  $p$  и  $\epsilon$  приводит к расширению области возмущения, увеличению давления и скорости по сравнению с линейной теорией. В этом случае параметры  $p$ ,  $u$ ,  $v$ , а также скорость распространения ударной волны в рассматриваемой среде становятся монотонно убывающими функциями глубины полупространства.

Исследование системы уравнений (2) показало, что при  $\beta_2 = 0$  задачу можно решить аналитическим способом. Действительно, подставляя первое уравнение (2) в третье, для потенциала скорости  $\phi$  получаем волновое уравнение

$$(4) \quad \mu^2 \frac{\partial^2 \phi}{\partial \xi^2} - \frac{\partial^2 \phi}{\partial \eta^2} = 0 \quad \left( \mu^2 = \frac{D^2}{c_p^2} - 1, \quad c_p = \frac{\beta_1}{\rho} \right),$$

которое при  $D = c_p$  имеет решение вида

$$(5) \quad \varphi(\xi, \eta) = f_1(\xi - \mu\eta) + f_2(\xi + \mu\eta).$$

Здесь неизвестные функции  $f_1$  и  $f_2$  должны определяться из граничного условия (3) и условия на фронте волны (1). Ниже предлагается решить эту задачу обратным методом, т. е. задаться определенной формой поверхности фронта волны  $\Sigma$  и в процессе решения задачи определить соответствующий профиль нагрузки. В этом случае внутри криволинейного сектора  $\xi O \Sigma$  для (4) получим задачу Коши, так как если задана поверхность  $\Sigma$  фронта (в данном случае скорость фронта считается функцией, убывающей с глубиной полуплоскости), то с учетом (1) все параметры, в том числе составляющие скорости среды  $u, v$  на ней, будут известными переменными величинами и при  $\eta = \eta(\xi)$  имеют вид

$$(6) \quad \begin{aligned} u &= \frac{\partial \varphi}{\partial \xi} = -D \sin^2 \alpha(\xi) \left[ \frac{\rho_0 D^2}{\alpha_2} \sin^2 \alpha(\xi) - \frac{\alpha_1}{\alpha_2} \right], \\ v &= \frac{\partial \varphi}{\partial \eta} = D \sin \alpha(\xi) \cos \alpha(\xi) \left[ \frac{\rho_0 D^2}{\alpha_2} \sin^2 \alpha(\xi) - \frac{\alpha_1}{\alpha_2} \right], \end{aligned}$$

где  $\eta(\xi)$  — уравнение поверхности фронта. Используя (6), из (5) находим

$$(7) \quad f_i(z_i) = \mp \frac{D}{2\mu} \int_0^{z_i} \frac{\operatorname{tg} \alpha [F_i(z_i)] \{1 \pm \mu \operatorname{tg} \alpha [F_i(z_i)]\} \Phi_i(z_i)}{\{1 + \operatorname{tg}^2 \alpha [F_i(z_i)]\}^2} dz_i,$$

где  $\Phi_i(z_i) = (\rho_0 D^2 / \alpha_2 - \alpha_1 / \alpha_2) \operatorname{tg}^2 \alpha [F_i(z_i)] - \alpha_1 / \alpha_2$ ;  $F_i(z_i)$  — корень уравнения  $\xi \pm \mu \eta(\xi) = z_i$ , причем в случае  $i = 1$  принимается верхний знак в формуле (7). Таким образом, в области  $\xi O \Sigma$  с учетом (7), (5) получено аналитическое решение задачи. Если подставить это решение в (3), то в принципе должен получиться монотонно убывающий профиль нагрузки с резким фронтом в начале координат и в возмущенной области должен осуществляться процесс разгрузки среды. Результаты расчетов показывают, что процесса разгрузки в секторе  $\xi O \Sigma$  можно достичь, если скорость фронта  $\Sigma$  волны является затухающей функцией по глубине полуплоскости (что и требовалось доказать). Аналогичный обратный метод был применен в задаче о волне разгрузки [5].

В качестве иллюстрации метода рассмотрен случай, когда поверхность  $\Sigma$  фронта волны задана в виде полинома второй степени

$$(8) \quad \eta(\xi) = \operatorname{tg} \alpha_0 \cdot \xi - (b/2)\xi^2.$$

Таблица 1

$\xi$	$u^*$		$v^*$		$p^*$	
	I	II	I	II	I	II
0	-1,644	-1,644	13,100	13,100	105	105
0,2	-1,635	-1,633	13,040	13,02	104,412	104,2
0,4	-1,622	-1,621	12,953	12,95	103,542	103,5
0,6	-1,610	-1,610	12,876	12,87	102,787	102,8
0,8	-1,598	-1,598	12,800	12,80	102,038	102,0
1,0	-1,587	-1,587	12,725	12,73	101,293	101,3

Примечание. I — численный метод характеристик, II — аналитический метод.

Таблица 2

$\xi$	$u$		$v$		$p$	
	I	II	I	II	I	II
0	-1,644	-1,644	13,100	13,100	105	105
0,2	-1,610	-1,613	12,944	12,94	102,921	102,979
0,4	-1,581	-1,581	12,780	12,78	100,882	100,937
0,6	-1,550	-1,551	12,621	12,62	98,888	99,021
0,8	-1,519	-1,520	12,466	12,47	96,928	97,042
1,0	-1,490	-1,490	12,314	12,32	95,009	95,127

Примечание. I — численный метод характеристик, II — аналитический метод.

Результаты расчетов аналитического способа с учетом (8) при  $\operatorname{tg} \alpha_0 = 0,1255$ ,  $b = 0,86 \cdot 10^{-3}$  и метода характеристик, изложенного выше, представлены в табл. 1, 2, откуда видно, что результаты, полученные при помощи обоих методов, согласуются взаимно удовлетворительно, и найденный обратным методом профиль нагрузки  $f(\xi)$  является монотонно убывающим вдоль  $\xi$ .

Авторы выражают благодарность Х. А. Рахматулину за обсуждение результатов работы.

Поступила 3 XII 1976

#### ЛИТЕРАТУРА

1. Скобеев А. М., Флитман Л. М. Подвижная нагрузка на неупругой полуплоскости. — ПММ, 1970, т. 34, вып. 1.
2. Капустянский С. М. Распространение и отражение двумерных пластических волн. — «Изв. АН СССР. МТТ», 1973, № 1.
3. Рахматулин Х. А., Мамадалиев Н. Распространение нелинейных волн в грунтовой полупространстве, вызванных бегущей по его границе нагрузкой. — В кн.: Труды симпозиума. Нелинейные и тепловые эффекты при переходных волновых процессах. Горький — Таллин, 1973.
4. Исследование механических свойств грунтов в условиях трехосного сжатия при повышенном уровне напряжений. Отчет МИСИ им. В. В. Куйбышева № 320, 1972.
5. Рахматулин Х. А., Демьянов Ю. А. Прочность при интенсивных кратковременных нагрузках. М., Физматгиз, 1961.

УДК 539.374

### СМЕШАННАЯ ХАРАКТЕРИСТИЧЕСКАЯ ЗАДАЧА ДЛЯ ДВИЖЕНИЯ СЫПУЧЕЙ АДДИТИВНО-СЖИМАЕМОЙ СРЕДЫ

И. С. Дегтярев

(Пермь)

Среди большого количества работ, посвященных вопросам движения сыпучих сред, работы [1, 2] занимают особое положение. В [1] на основе концепции пластического потенциала сформулированы определяющие соотношения между напряжениями и скоростями деформаций, которые были использованы в [2] для постановки смешанных граничных задач и решения вопросов о вдавливании штампа и смазанного клина в грунтовую дилатирующую массу.